

다차원 토러스 네트워크의 고장지름과 서로소인 경로들

(Fault Diameter and Mutually Disjoint Paths in
Multidimensional Torus Networks)

김희철[†] 임도빈[‡] 박정흠^{***}

(Hee-Chul Kim) (Do-Bin Im) (Jung-Heum Park)

요약 상호연결망은 그래프로 모델링 할 수 있다: 노드는 정점으로 대응시키고, 링크는 에지로 대응시킨다. 상호연결망(그래프)의 지름은 서로 다른 모든 두 정점 사이의 최단경로 길이 중 최대이다. 상호연결망의 고장지름이란 연결도-1 개 이하의 임의의 정점에 고장이 있을 경우, 이들 고장 정점들을 제거한 연결망에서 모든 두 정점사이의 최단경로 길이 중 최대이다. 지름이 3이상이고 연결도가 r 인 r -정규(regular) 그래프의 고장지름은 지름+1이상이다. 이 논문에서는 $m, n \geq 3$ 인 2 -차원 $m \times n$ 토러스에서 $m = 3$ 혹은 $n = 3$ 일 때 고장지름은 $\max(m, n)$ 이고, $m, n > 3$ 일 때 고장지름은 지름+1임을 보인다. 그리고 $k_i \geq 3$ ($1 \leq i \leq d$)이고 $d \geq 3$ 인 d -차원 $k_1 \times k_2 \times \dots \times k_d$ 토러스에서 서로 다른 임의의 두 정점 사이에 길이가 지름+1이하인 서로소인 경로들이 $2d$ 개 존재함을 보인다. 두 정점 u 와 v 사이의 서로소인 경로들이란, 공통의 정점들이 u 와 v 만 있는 경로들을 말한다. 이를 서로소인 경로들을 이용하여 $k_i \geq 3$ ($1 \leq i \leq d$)이고 $d \geq 3$ 인 d -차원 $k_1 \times k_2 \times \dots \times k_d$ 토러스의 고장지름이 지름+1임을 보인다.

키워드 : 토러스 네트워크, 지름, 고장지름, 서로소인 경로들

Abstract An interconnection network can be represented as a graph where a vertex corresponds to a node and an edge corresponds to a link. The diameter of an interconnection network is the maximum length of the shortest paths between all pairs of vertices. The fault diameter of an interconnection network G is the maximum length of the shortest paths between all two fault-free vertices when there are $\kappa(G)-1$ or less faulty vertices, where $\kappa(G)$ is the connectivity of G . The fault diameter of an r -regular graph G with diameter of 3 or more and connectivity r is at least $\text{diam}(G)+1$ where $\text{diam}(G)$ is the diameter of G . We show that the fault diameter of a 2-dimensional $m \times n$ torus with $m, n \geq 3$ is $\max(m, n)$ if $m = 3$ or $n = 3$; otherwise, the fault diameter is equal to its diameter plus 1. We also show that in $d (\geq 3)$ -dimensional $k_1 \times k_2 \times \dots \times k_d$ torus with each $k_i \geq 3$, there are $2d$ mutually disjoint paths joining any two vertices such that the lengths of all these paths are at most diameter+1. The paths joining two vertices u and v are called to be mutually disjoint if the common vertices on these paths are u and v . Using these mutually disjoint paths, we show that the fault diameter of $d (\geq 3)$ -dimensional $k_1 \times k_2 \times \dots \times k_d$ torus with each $k_i \geq 3$ is equal to its diameter plus 1.

Key words : torus networks, diameter, fault diameter, mutually disjoint paths

1. 서 론

• 이 연구는 한국외국어대학교 교내학술연구비의 지원에 의하여 이루어진 것임

[†] 정희원 : 한국외국어대학교 컴퓨터및정보통신공학부 교수
hckim@hufs.ac.kr

[‡] 정희원 : 한국외국어대학교 컴퓨터및정보통신공학부
dobin@san.hufs.ac.kr

^{***} 종신회원 : 가톨릭대학교 컴퓨터정보공학부 교수
j.h.park@catholic.ac.kr

논문접수 : 2005년 12월 21일

심사완료 : 2007년 3월 20일

다중 컴퓨터시스템에 대한 상호연결망으로 하이퍼큐브, 메시, 토러스, 재귀원형군, 스타그래프 등의 여러 위상 구조가 제시되어 왔다. 상호연결망은 그래프로 모델링 할 수 있다: 정점은 노드를 나타내고, 에지는 통신 링크를 나타낸다. 상호연결망을 평가하는 척도 중의 하나로 연결도가 있다. 그래프 G 의 연결도가 κ 라는 것은 G 에서 임의의 $\kappa-1$ 개 혹은 그 이하의 정점에 고장이

발생하더라도 이 그래프가 분리되지 않으며, 또한 G 가 연결되지 않도록 하는 κ 개의 고장인 정점들의 집합이 있다는 것을 의미한다. 상호연결망을 평가하는 다른 척도로서, 두 정점 사이에 메시지 전달시간과 관련이 있는 지름이 있다. 상호연결망의 지름은 서로 다른 모든 두 정점사이의 최단경로 길이 중 최대 값을 말한다. 정점이나 에지에 고장이 있는 경우를 고려하는 연결망과 관련하여 고장지름[1-7], 길이가 긴 경로 및 사이클[8-10], 경로커버[11,12] 등의 연구가 있다. 상호연결망의 고장지름이란 연결도보다 적은 개수의 임의의 정점들에 고장이 났을 때, 이를 고장 정점들을 제거한 연결망에서 서로 다른 모든 두 정점사이의 최단경로 길이 중 최대이다. 고장지름과 관련한 주요한 연구는 고장지름이 지름에 비하여 얼마나 증가하는가를 분석하는 것이다. 길이가 긴 경로 및 사이클에 관한 연구는 고장인 원소(정점이나 에지)들을 제외한 연결망에서 두 정점 사이에 얼마나 긴 경로가 존재하는지, 얼마나 긴 사이클이 존재하는지, 해밀톤 연결성을 가지는지 등에 대하여 분석하는 것이다. 경로커버 연구는 정점이나, 에지에 고장이 있을 경우, 고장이 아닌 정점들을 여러 개의 경로로 커버하는 것에 관하여 분석하는 것이다. 이 논문에서는 고장지름에 대한 연구로서, 상호연결망 중의 하나인 토러스[13-15]의 고장지름을 분석한다.

지름이 3 이상이고 연결도가 r 인 r -정규 그래프의 고장지름은 지름+1 이상인데, 하이퍼큐브, cube-connected cycle, 스타그래프, k -ary r -큐브, 재귀원형군 $G(2^m, 4)$ 등의 고장지름은 지름+1이다[1-6]. 하이퍼큐브의 변형인 r -차원 twisted cube의 고장지름은 r 의 값에 따라 지름+1 혹은 지름+2이다[7].

토러스와 관련한 고장지름에 관한 연구로 k -ary n -큐브가 있다. k -ary n -큐브는 토러스의 특수한 형태로서 각 차원의 크기가 모두 k 인 n -차원 토러스 즉 $k \times k \times \dots \times k$ 인 토러스로서, 고장지름은 지름+1로 알려져 있다[1]. 이 논문에서는 k -ary n -큐브를 확장하여 각 차원의 크기가 3이상인 임의의 자연수인 토러스의 고장지름을 분석한다. 두 정점 u, v 사이의 두 경로 P_1, P_2 에 대하여 P_1 과 P_2 상에 공통으로 있는 정점들이 u 와 v 만 있을 때, 이들 두 경로는 서로 소라고 말한다. 연결도가 κ 인 그래프의 고장지름이 l 이하임을 보이기 위하여, 임의의 두 정점사이에 길이가 l 이하인 서로 소인 경로들이 κ 개 있음을 보이면 된다. 왜냐하면 두 정점 u, v 사이의 길이가 l 이하인 서로 소인 경로들이 κ 개 있으면, $\kappa - 1$ 개 이하의 정점들에 고장이 났을 경우 이들 경로 중 하나는 고장이 없고 이 경로의 길이는 l 이하가 되기 때문이다. $d(\geq 2)$ -차원 토러스는 연결도가

$2d$ 로서, 고장지름을 보이기 위하여 임의의 두 정점 사이의 서로 소인 $2d$ 개의 경로들을 구성하고 이를 경로들의 길이를 분석한다.

2장에서는 표기와 용어를 소개하고 3장에서는 2-차원 토러스의 고장지름을 분석한다. 4장에서는 일반적인 d -차원 토러스에서 고장지름을 분석하고, 마지막으로 5장에서 결론을 기술한다.

2. 표기와 용어

d -차원 $k_1 \times k_2 \times \dots \times k_d$ 토러스는 모든 k_i ($1 \leq i \leq d$)가 3 이상으로, $k_1 \times k_2 \times \dots \times k_d$ 개의 정점으로 구성되어 있으며, 각 정점은 $1 \leq i_j \leq k_j$ ($1 \leq j \leq d$)인 v_{i_1, i_2, \dots, i_d} 로 나타낸다. 어떤 p ($1 \leq p \leq d$)에 대하여 $i'_p = i_p \pmod{k_p} + 1$ 이고, p 가 아닌 모든 j ($1 \leq j \neq p \leq d$)에 대하여 $i'_j = i_j$ 라면, 두 정점 v_{i_1, i_2, \dots, i_d} 와 $v_{i'_1, i'_2, \dots, i_d}$ 는 인접하다. d -차원 $k_1 \times k_2 \times \dots \times k_d$ 토러스는 $2d$ -정규 그래프로서 연결도가 $2d$ 이고, 지름은 $\sum_{i=1}^d \lfloor k_i/2 \rfloor$ 이다. 앞으로 d -차원 $k_1 \times k_2 \times \dots \times k_d$ 토러스는 $T(k_1, k_2, \dots, k_d)$ 로 표기한다. 그럼 1은 3-차원 토러스 $T(3,4,3)$ 를 보여준다.

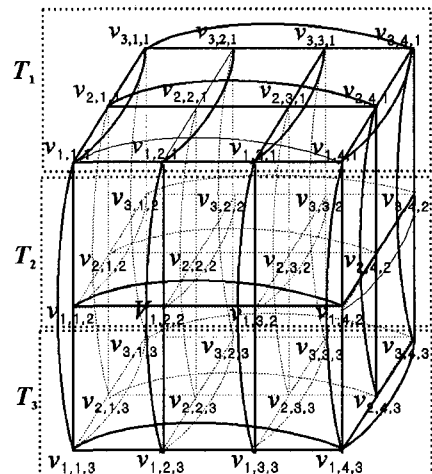


그림 1 $T(3,4,3)$

d -차원 토러스 $T(k_1, k_2, \dots, k_d)$ 는, $d-1$ -차원 토러스 $T(k_1, k_2, \dots, k_{d-1})$ 와 길이가 k_d 인 사이클 C_{k_d} 의 그래프곱(graph product)인 $T(k_1, k_2, \dots, k_{d-1}) \times C_{k_d}$ 와 동형(isomorphic)이다. 즉, $T(k_1, k_2, \dots, k_d)$ 는 $C_{k_1} \times C_{k_2} \times \dots \times C_{k_d}$ 와 동형이다. 여기서 C_k ($1 \leq i \leq k$)는 길이가 k 인 사

이를이다. 그리고, k_1, k_2, \dots, k_d 의 임의의 순열 k'_1, k'_2, \dots, k'_d 에 대하여, $T(k'_1, k'_2, \dots, k'_d)$ 는 $T(k_1, k_2, \dots, k_d)$ 와 동형이다. 또한 d -차원 토러스 $T(k_1, k_2, \dots, k_d)$ 는 정점 대칭(vertex symmetric)이다. 토러스의 다른 대칭적 성질로 다음이 있다.

성질 1. $d \geq 2$ 이고 $k_i \geq 3$ ($1 \leq i \leq d$)인 d -차원 토러스 $T(k_1, k_2, \dots, k_d)$ 에서 정점을 사이에 다음과 같은 대칭적 성질이 있다: $2 \leq i_j \leq k_j$ ($1 \leq j \leq d$)인 정점 $v_{i_1, i_2, \dots, i_{j-1}, i_j, i_{j+1}, \dots, i_d}$ 에 대하여, $\phi(v_{1,1,\dots,1}) = v_{1,1,\dots,1}$ 이고 $\phi(v_{i_1, i_2, \dots, i_{j-1}, i_j, i_{j+1}, \dots, i_d}) = v_{i_1, i_2, \dots, i_{j-1}, k_j - i_j + 2, i_{j+1}, \dots, i_d}$ 인 automorphism ϕ 가 존재한다.

위의 성질은 $v_{1,1,\dots,1}$ 에 대하여, $2 \leq i_j \leq k_j$ 인 정점 $v_{i_1, i_2, \dots, i_{j-1}, i_j, i_{j+1}, \dots, i_d}$ 는 정점 $v_{i_1, i_2, \dots, i_{j-1}, k_j - i_j + 2, i_{j+1}, \dots, i_d}$ 와 대칭적인 관계에 있음을 보여준다. 정점 $w = v_{i_1, i_2, \dots, i_{j-1}, i_j, i_{j+1}, \dots, i_d}$ 에서 i_j ($1 \leq j \leq d$)를 정점 w 의 j -차원 인덱스라 부른다. j -차원 인덱스가 a 인 정점들로 이루어진 토러스를 j -차원이 a 인 토러스라 부른다. 다시 말하면, j -차원이 a 인 토러스는 j 차원 인덱스가 a 인 정점들의 집합 $V_a = \{v_{i_1, i_2, \dots, i_{j-1}, a, i_{j+1}, \dots, i_d} \mid 1 \leq i_p \leq k_p, p \neq j\}$ 이고, $1 \leq p \leq d$ 에 의하여 유도(reduced)되는 부그래프로서 이는 $d-1$ -차원 토러스 $T(k_1, k_2, \dots, k_{j-1}, k_{j+1}, \dots, k_d)$ 와 동형이다. 그래프 $G = (V, E)$ 에서, 정점들의 부분집합 V 에 의하여 유도되는 부그래프는 정점집합이 V 이고 에지집합 $E' = \{(v, w) \in E \mid v, w \in V\}$ 인 그래프로 정의된다. 그림 1의 3차원 토러스 $T(3,4,3)$ 에서 T_1, T_2, T_3 은 각각 3-차원 인덱스가 1, 2, 3인 토러스들로서 $T(3,4)$ 와 동형이다. 정점 $w = v_{i_1, i_2, \dots, i_{j-1}, i_j, i_{j+1}, \dots, i_d}$ 에 대하여, w 를 j -차원의 인덱스가 a 인 토러스에 w 를 투사한 정점은 정점 $v_{i_1, i_2, \dots, i_{j-1}, a, i_{j+1}, \dots, i_d}$ 로 정의된다. 예를 들어, 그림 1의 3-차원 토러스 $T(3,4,3)$ 에서 $w = v_{1,3,3}$ 를 3-차원이 1인 토러스에 투사한 정점은 $v_{1,3,1}$ 이고 3-차원이 2인 토러스에 투사한 정점은 $v_{1,3,2}$ 이다.

j ($1 \leq j \leq d$), p ($1 \leq p \leq k_j$)와 정점 $w = v_{i_1, i_2, \dots, i_{j-1}, i_j, i_{j+1}, \dots, i_d}$ 에 대하여, $p > i_j$ 일 경우 $P[w; j(p)]$ 는 w 로부터 j -차원의 인덱스가 1씩 증가하여 j -차원 인덱스가 p 인 정점까지 가는 경로를, $p < i_j$ 일 경우 $P[w; j(p)]$ 는 w 로부터 j -차원의 인덱스가 1씩 감소하여 j -차원 인덱스가 p 인 정점까지 가는 경로를 나타낸다. 두 정점 사이의 경로를 이 경로 상에 있는 일련의 정점들로 나타낼 때,

$p > i_j$ 인 경우,

$P[w; j(p)] = (v_{i_1, i_2, \dots, i_{j-1}, i_j, i_{j+1}, \dots, i_d} v_{i_1, i_2, \dots, i_{j-1}, i_j + 1, i_{j+1}, \dots, i_d}, v_{i_1, i_2, \dots, i_{j-1}, i_j + 2, i_{j+1}, \dots, i_d}, \dots, v_{i_1, i_2, \dots, i_{j-1}, p, i_{j+1}, \dots, i_d})$ 이고 $p < i_j$ 인 경우,
 $P[w; j(p)] = (v_{i_1, i_2, \dots, i_{j-1}, i_j, i_{j+1}, \dots, i_d} v_{i_1, i_2, \dots, i_{j-1}, i_j - 1, i_{j+1}, \dots, i_d}, v_{i_1, i_2, \dots, i_{j-1}, i_j - 2, i_{j+1}, \dots, i_d}, \dots, v_{i_1, i_2, \dots, i_{j-1}, p, i_{j+1}, \dots, i_d})$ 이다.

두 정점 u, v 에 대하여, $dist(u, v)$ 는 u 로부터 v 까지의 최단경로의 길이를 나타낸다. 경로를 일련의 정점을로 나타낼 때, 같은 정점을 연속하여 나열하기도 한다. 경로의 표현에서, 같은 정점을 연속하여 나올 때 이들은 하나의 정점으로 간주한다. 예를 들어, 토러스 $T(10,9,8)$ 의 경로 $(v_{1,1,1}, P[v_{10,1,1}; 1(8)], P[v_{8,1,1}; 3(4)], v_{8,2,4})$ 에서 $P[v_{10,1,1}; 1(8)]$ 의 마지막 정점은 $v_{8,1,1}$ 이고 $P[v_{8,1,1}; 3(4)]$ 의 시작정점도 $v_{8,1,1}$ 이다. 이 경로의 표현에서 $v_{8,1,1}$ 이 연속하여 나오는데, 이 경로는 $(v_{1,1,1}, v_{10,1,1}, v_{9,1,1}, v_{8,1,1}, v_{8,1,2}, v_{8,1,3}, v_{8,1,4}, v_{8,2,4})$ 를 의미한다. 경로 P 에 대하여 $|P|$ 는 경로 P 의 길이, 즉 P 상에 있는 에지들의 개수를 나타낸다. k 개의 경로들 P_1, P_2, \dots, P_k 에 대하여 $l(P_1, P_2, \dots, P_k)$ 는 이들 경로들 중 가장 긴 길이를 나타낸다. 즉, $l(P_1, P_2, \dots, P_k) = \max_{1 \leq i \leq k} |P_i|$ 이다. 토러스 $T(k_1, k_2, \dots, k_d)$ 의 지름은 $diam(T(k_1, k_2, \dots, k_d))$ 로 표기한다. 특별히 정의되지 않는 용어는 [16]을 따른다.

3. 2-차원 토러스의 고장지름

2-차원 $m \times n$ 토러스는 연결도가 4이고 지름은 $\lfloor m/2 \rfloor + \lfloor n/2 \rfloor$ 이다. 2-차원 토러스의 고장지름을 분석하기 위하여 임의의 두 정점 u, v 사이에 서로 소인 4개의 경로를 구하여 이들 경로의 최대 길이를 분석한다. 2-차원 토러스 $T(m, n)$ 의 고장지름은 m 과 n 중 하나가 3일 경우와, m 과 n 모두 3보다 클 경우로 나누어 분석한다. 먼저 m 과 n 중 하나가 3일 경우 고장지름은 $\max(m, n)$ 임을 보인다.

정리 1. $m = 3$ 혹은 $n = 3$ 인 2-차원 토러스 $T(m, n)$ 의 고장지름은 $\max(m, n)$ 이다.

증명. 일반성을 잃지 않고, $m = 3$ 이라 가정하고 고장지름이 n 임을 보이면 된다. 먼저 고장지름이 n 이상임을 보인다. 2-차원 토러스 $T(3, n)$ 은 연결도가 4이다. 고장 정점들이 $\{v_{1,2}, v_{2,1}, v_{3,1}\}$ 일 경우, $v_{1,1}$ 과 $v_{2,2}$ 사이의 최단경로는 $(v_{1,1}, v_{1,n}, v_{2,n}, v_{2,n-1}, v_{2,n-2}, \dots, v_{2,3}, v_{2,2})$ 이고 길이는 n 이다. 그러므로 고장지름은 n 이상이다. 이제 고장지름이 n 이하임을 보이기 위하여 임의의 두 정점 u 와 v 사이에 길이가 n 이하인 서로 소인 4 개의 경로 P_1, P_2, P_3, P_4 를 구한다. 2-차원 토러스는 정점 대칭

적이므로, $u = v_{1,1}$ 이라 가정한다. $v = v_{i,j} (\neq u)$ 라 하자. 성질 1에 의하여 $i \leq 2$, $j \leq \lfloor n/2 \rfloor + 1$ 인 경우만 고려하면 된다.

경우 1: $i=1$

$$\begin{aligned} P_1 &= P[v_{1,1};2(j)], \quad P_2 = (v_{1,1}, P[v_{2,1};2(j)], v_{1,j}), \\ P_3 &= (v_{1,1}, P[v_{1,n};2(j)]), \quad P_4 = (v_{1,1}, P[v_{3,1};2(j)], v_{1,j}). \end{aligned}$$

경우 2: $i=2$ 이고 $j \neq 1$

$$\begin{aligned} P_1 &= (P[v_{1,1};2(j)], v_{2,j}), \quad P_2 = (v_{1,1}, P[v_{2,1};2(j)]), \\ P_3 &= (v_{1,1}, v_{1,n}, P[v_{2,n};2(j)]), \quad P_4 = (v_{1,1}, P[v_{3,1};2(j)], v_{2,j}). \end{aligned}$$

경우 3: $i=2$ 이고 $j=1$

$$\begin{aligned} P_1 &= (v_{1,1}, v_{1,2}, v_{2,2}, v_{2,1}), \quad P_2 = (v_{1,1}, v_{2,1}), \\ P_3 &= (v_{1,1}, v_{1,n}, v_{2,n}, v_{2,1}), \quad P_4 = (v_{1,1}, v_{3,1}, v_{2,1}). \end{aligned}$$

위의 각 경우에 대하여 $l(P_1, P_2, P_3, P_4) \leq n$ 이다. \square

이제 각 차원의 크기가 4 이상인 2-차원 토러스에 대하여 고장지름이 지름+1임을 보인다. 지름이 3 이상이고 연결도가 r 인 r -정규 그래프의 고장지름은 지름+1 이상이다. 각 차원의 크기가 4 이상인 2-차원 토러스는 지름이 3이상이고 연결도가 4인 4-정규그래프이므로 고장지름이 지름+1 이상이다. 따라서 토러스의 고장지름이 지름+1과 같음을 보이기위해서 고장지름이 지름+1이하임을 보이면 된다. 이를 위하여 두 가지 방법을 고려할 수 있다. 하나의 방법은 임의의 두 정점 u , v 사이에 길이가 지름+1 이하인 서로소인 4개의 경로들을 찾는 것이고, 다른 방법은 3개 이하의 정점들에 고장이 있는 모든 경우에 대하여 u 와 v 사이에 길이가 지름+1 이하인 경로 하나를 직접 찾는 것이다. 여기서는 주로 전자의 방법을 이용하고, 이 방법을 사용하는 것이 가능하지 않을 경우에 (u 와 v 의 위치에 따라) 후자의 방법을 이용한다.

정리 2. $m, n \geq 4$ 인 2-차원 토러스 $T(m, n)$ 의 고장지름은 $diam(T(m, n)) + 1$ 이다.

증명. 고장인 정점이 3개 이하인 경우, 임의의 고장이 아닌 서로 다른 두 정점 u , v 사이에 길이가 지름+1이하인 고장이 아닌 경로가 존재함을 보인다. 일반성을 잃지 않고, $m \leq n$ 이고 $u = v_{1,1}$ 이라 가정한다. $v = v_{i,j} (\neq u)$ 라 하자. 성질 1에 의하여 $i \leq \lfloor m/2 \rfloor + 1$, $j \leq \lfloor n/2 \rfloor + 1$ 이라 가정한다. 다음의 경우 1부터 경우 5까지 및 경우 6-1에 대해서는 u 와 v 사이에 $l(P_1, P_2, P_3, P_4) \leq diam(T(m, n)) + 1$ 인 서로소인 4 개의 경로 P_1, P_2, P_3, P_4 가 존재함을 보이고, 경우 6-2에 대해서는 3개 이하의 임의의 정점에 고장이 있을 경우 u 와 v 사이에 길이가 $diam(T(m, n)) + 1$ 이하인 (고장이 아닌) 경로 하나가 존재함을 직접 보인다.

경우 1: $i = \lfloor m/2 \rfloor + 1, j = \lfloor n/2 \rfloor + 1$ 혹은

$i = \lfloor m/2 \rfloor, j = \lfloor n/2 \rfloor$ (그림 2(a) 참조)

$$\begin{aligned} P_1 &= (P[v_{1,1};2(j)], P[v_{1,j};1(i)]), \\ P_2 &= (P[v_{1,1};1(i)], P[v_{i,1};2(j)]), \\ P_3 &= (v_{1,1}, P[v_{1,n};1(i)], P[v_{i,n};2(j)]), \\ P_4 &= (v_{1,1}, P[v_{m,1};2(j)], P[v_{m,j};1(i)]). \end{aligned}$$

$|P_1| = |P_2| = dist(v_{1,1}, v_{i,j})$ 이다. $i = \lfloor m/2 \rfloor + 1$,

$j = \lfloor n/2 \rfloor + 1$ 이면 $|P_3|, |P_4| \leq dist(v_{1,1}, v_{i,j}) + 1$ 이다.

$i = \lfloor m/2 \rfloor, j = \lfloor n/2 \rfloor$ 이면 $|P_3|, |P_4| \leq dist(v_{1,1}, v_{i,j}) + 3$

인데, $dist(v_{1,1}, v_{i,j}) = diam(T(m, n)) - 2$ 이다. 따라서

$l(P_1, P_2, P_3, P_4) \leq diam(T(m, n)) + 1$ 이다.

경우 2: $i = \lfloor m/2 \rfloor + 1, 1 < j \leq \lfloor n/2 \rfloor$ (그림 2(b) 참조)

$m, n \geq 4$ 이므로 $i \geq 3, j+1 < n$ 이다.

$$\begin{aligned} P_1 &= (P[v_{1,1};2(j+1)], P[v_{1,j+1};1(i)]), \\ P_2 &= (v_{1,1}, P[v_{2,1};2(j)], P[v_{2,j};1(i)]), \\ P_3 &= (v_{1,1}, P[v_{1,n};1(i)], P[v_{i,1};2(j)]), \\ P_4 &= (v_{1,1}, P[v_{m,1};2(j)], P[v_{m,j};1(i)]). \end{aligned}$$

$i \geq 3$ 이고 $j+1 < n$ 이므로, 이들 4개의 경로는 서로 소이다.

$|P_2| = dist(v_{1,1}, v_{i,j}) = i+j$ 이고,

$|P_1| = |P_3| = dist(v_{1,1}, v_{i,j}) + 2$,

$|P_4| = dist(v_{1,1}, v_{i,j}) + odd(m)$ 이다. 여기서, m 이 짝수이면 $odd(m) = 0$ 이고, m 이 홀수이면 $odd(m) = 1$ 이다. $dist(v_{1,1}, v_{i,j}) \leq diam(T(m, n)) - 1$ 이므로,

$l(P_1, P_2, P_3, P_4) \leq diam(T(m, n)) + 1$ 이다.

경우 3: $1 < i \leq \lfloor m/2 \rfloor, j = \lfloor n/2 \rfloor + 1$ (그림 2(c) 참조)

이 경우, $i+1 < m, j \geq 3$ 이다.

$$\begin{aligned} P_1 &= (P[v_{1,1};2(j-1)], P[v_{1,j-1};1(i)]), \\ P_2 &= (P[v_{1,1};1(i+1)], P[v_{i+1,1};2(j)]), \\ P_3 &= (v_{1,1}, P[v_{1,n};1(i)], P[v_{i,n};2(j)]), \\ P_4 &= (v_{1,1}, P[v_{m,1};2(j)], P[v_{1,j};1(i)]). \end{aligned}$$

$j-1 > 1, i+1 < m$ 이므로 이들 4 경로는 서로 소이다.

$|P_1| = dist(v_{1,1}, v_{i,j})$ 이고, $|P_2| = |P_4| = dist(v_{1,1}, v_{i,j}) + 2$,

$|P_3| = dist(v_{1,1}, v_{i,j}) + odd(n)$ 이다. 여기서, n 이 짝수이면 $odd(n) = 0$ 이고, n 이 홀수이면 $odd(n) = 1$ 이다.

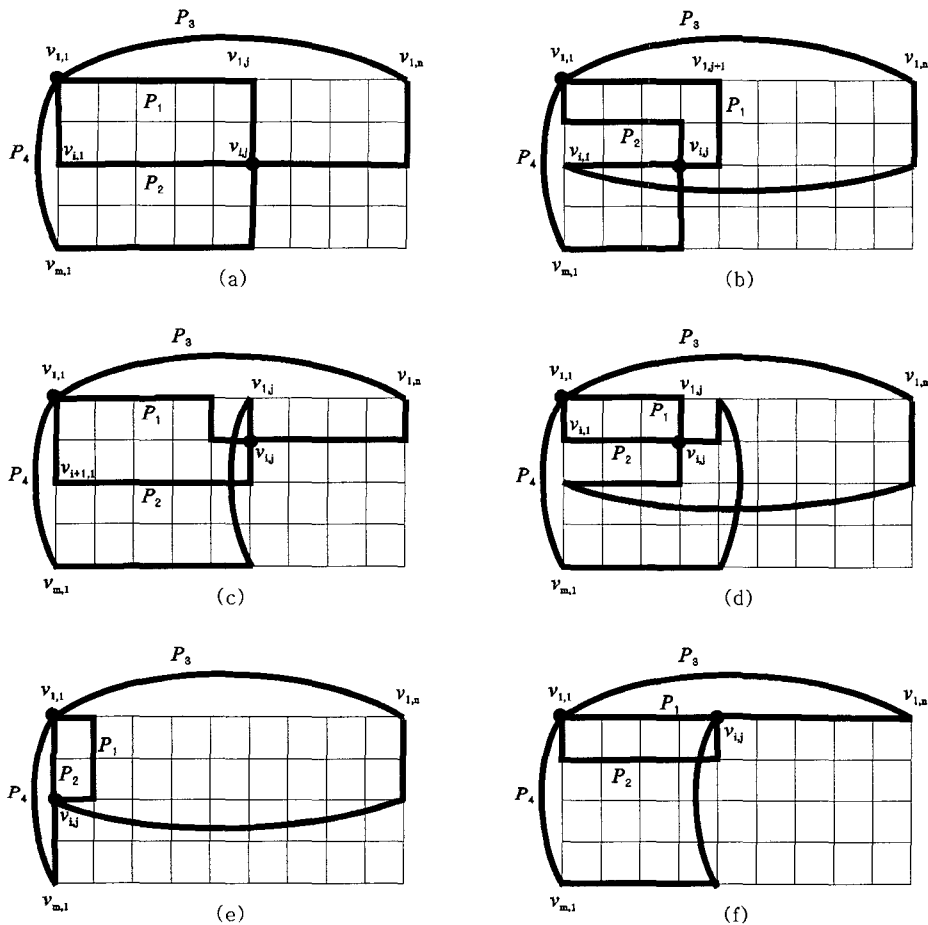
$dist(v_{1,1}, v_{i,j}) \leq diam(T(m, n)) - 1$ 이므로,

$l(P_1, P_2, P_3, P_4) \leq diam(T(m, n)) + 1$ 이다.

경우 4: $1 < i \leq \lfloor m/2 \rfloor, 1 < j \leq \lfloor n/2 \rfloor$ (단, $i = \lfloor m/2 \rfloor, j = \lfloor n/2 \rfloor$ 는 제외) (그림 2(d) 참조)

$$P_1 = (P[v_{1,1};2(j)], P[v_{1,j};1(i)]),$$

$$P_2 = (P[v_{1,1};1(i)], P[v_{i,1};2(j)]),$$

그림 2 2-차원 토러스에서 $v_{1,1}$ 와 $v_{i,j}$ 사이의 서로소인 4개의 경로

$P_3 = (v_{1,1}, P[v_{1,n}; 1(i+1)], P[v_{i+1,1}; 2(j)], v_{i,j})$,
 $P_4 = (v_{1,1}, P[v_{m,1}; 2(j+1)], P[v_{1,j+1}; 1(i)], v_{i,j})$.
 $i+1 < m$, $j+1 < n$ 이므로, 이들 4 경로는 서로 소이다.
 $|P_1| = |P_2| = \text{dist}(v_{1,1}, v_{i,j})$ 이고, $|P_3| = |P_4| = \text{dist}(v_{1,1}, v_{i,j}) + 4$ 이다. $\text{dist}(v_{1,1}, v_{i,j}) \leq \text{diam}(T(m,n)) - 3$ 이므로,
 $l(P_1, P_2, P_3, P_4) \leq \text{diam}(T(m,n)) + 1$ 이다.

경우 5: $1 < i \leq \lfloor m/2 \rfloor + 1$, $j = 1$ (그림 2(e) 참조)

$P_1 = (v_{1,1}, P[v_{1,2}; 1(i)], v_{i,1})$, $P_2 = P[v_{1,1}; 1(i)]$,
 $P_3 = (v_{1,1}, P[v_{1,n}; 1(i)], v_{i,1})$, $P_4 = (v_{1,1}, P[v_{m,1}; 1(i)])$.
 $|P_2| = i-1$ 이고, $|P_1| = |P_3| = i+1$ 이고, $|P_4| = m-i+1$

이다. $1 < i \leq \lfloor m/2 \rfloor + 1$ 이므로 $|P_4| \leq m-1$ 이다. 또한,
 $m \leq n$ 이므로 $\text{diam}(T(m,n)) = \lfloor m/2 \rfloor + \lfloor n/2 \rfloor \geq m-1$ 이다. 따라서 $|P_4| \leq \text{diam}(T(m,n))$ 이다.
 $l(P_1, P_2, P_3, P_4) \leq \text{diam}(T(m,n))$ 이다.

경우 6: $i = 1$, $1 < j \leq \lfloor n/2 \rfloor + 1$

경우 6-1: $\lfloor n/2 \rfloor - \lfloor m/2 \rfloor + 1 \leq j \leq \lfloor n/2 \rfloor + 1$ 인 경우 (그림 2(f) 참조)

$P_1 = P[v_{1,1}; 2(j)]$, $P_2 = (v_{1,1}, P[v_{2,1}; 2(j)], v_{i,j})$,
 $P_3 = (v_{1,1}, P[v_{1,n}; 2(j)])$, $P_4 = (v_{1,1}, P[v_{m,1}; 2(j)], v_{i,j})$.
 $|P_1| = j-1$ 이고, $|P_2| = |P_4| = j+1$ 이고, $|P_3| = n-j+1 \leq n - (\lfloor n/2 \rfloor - \lfloor m/2 \rfloor + 1) + 1 = \lfloor n/2 \rfloor + \lfloor m/2 \rfloor + \text{odd}(n)$. 여기서, n 이 홀수이면 $\text{odd}(n) = 1$ 이고, n 이 짝수이면 $\text{odd}(n) = 0$ 이다. 따라서 $l(P_1, P_2, P_3, P_4) \leq \text{diam}(T(m,n)) + 1$ 이다.

경우 6-2: $1 < j \leq \lfloor n/2 \rfloor - \lfloor m/2 \rfloor$

이 경우에는 $v_{1,1}$ 과 $v_{1,j}$ 사이에 길이가 $\text{diam}(T(m,n)) + 1$ 이하의 서로소인 경로가 4개 존재하지 않을 수도 있다. 따라서 고장인 정점이 3개 이하일 때, 길이가 $\text{diam}(T) + 1$ 이하로서 고장인 정점을 지나지 않는 경로가 하나 존재함을 보인다. 이를 위하여, 먼저 다음의 3 경로를 고려한다.

$$P_1 = P[v_{1,1}; 2(j)],$$

$$P_2 = (v_{1,1}, P[v_{2,1}; 2(j)], v_{1,j}),$$

$$P_3 = (v_{1,1}, P[v_{m,1}; 2(j)], v_{1,j}).$$

이들은 $v_{1,1}$ 와 $v_{1,j}$ 사이에 서로소인 경로들로서.

$|P_1| = j - 1$ 이고, $|P_2| = |P_3| = j + 1$ 이므로 P_1, P_2, P_3 의 길이는 각각 $diam(T)$ 이하이다. 이들 경로 중 고장인 정점을 지나지 않는 경로가 있다면, 이것이 $v_{1,1}$ 와 $v_{1,j}$ 사이에 조건을 만족하는 경로이다. 그렇지 않다면 세 개의 고장이 정점이 P_1, P_2, P_3 상에 각각 하나씩 존재한다. 단, $v_{1,1}$ 와 $v_{1,j}$ 는 고장이 아니다.

경우 6-2-1: $\{v_{2,1}, v_{m,1}\}$ 중 하나가 고장이 아닌 경우

일반성을 잃지 않고 $v_{2,1}$ 이 고장이 아니라고 가정한다. $P_4 = (v_{1,1}, v_{2,1}, P[v_{3,1}; 2(j+1)], v_{2,j+1}, v_{1,j+1}, v_{1,j})$ 는 고장이 없는 경로이다. $m \geq 4$ 이므로, $|P_4| = j + 5 \leq \lfloor n/2 \rfloor - \lfloor m/2 \rfloor + 5 \leq \lfloor n/2 \rfloor + 3 \leq diam(T(m,n)) + 1$ 이다.

경우 6-2-2: $\{v_{2,1}, v_{m,1}\}$ 가 모두 고장인 경우

P_2 에는 고장인 정점이 하나 있고, 이것이 바로 $v_{2,1}$ 이므로 $v_{2,j}$ 는 고장이 아닌 정점이다. 따라서 $P_4 = (v_{1,1}, v_{1,n}, v_{2,n}, v_{3,n}, P[v_{3,1}; 2(j)], v_{2,j}, v_{1,j})$ 는 고장이 없는 경로이다.

$$|P_4| = j + 5 \leq \lfloor n/2 \rfloor - \lfloor m/2 \rfloor + 5 \leq \lfloor n/2 \rfloor + 3$$

$\leq diam(T(m,n)) + 1$ 이다. \square

정리 3. $3 \leq m, n \leq 5$ (단 $\{m,n\} \neq \{3,5\}$)이거나 혹은 $m, n \geq 6$ 인 2-차원 토러스 $T(m,n)$ 에서 서로 다른 임의의 두 정점 u, v 사이에 길이가 $diam(T(m,n)) + 1$ 이하의 서로소인 경로가 4개 존재한다.

증명. 일반성을 잃지 않고, $m \leq n$ 이라 가정한다. 또한 $u = v_{1,1}, v = v_{i,j}$ ($i \leq \lfloor m/2 \rfloor + 1, j \leq \lfloor n/2 \rfloor + 1$)이라 가정한다.

경우 1: $m = 3$

$n = 3$ 일 경우에 $diam(T(m,n)) = 2$ 이고, $n = 4$ 일 경우에 $diam(T(m,n)) = 3$ 이다. 정리 1의 증명으로부터, 서로 다른 모든 두 정점 u, v 사이에 길이가 $diam(T(m,n)) + 1$ 이하인 서로소인 경로가 4개 존재함을 쉽게 알 수 있다.

경우 2: $m \geq 4$

정점 $v_{1,1}$ 로부터 $i = 1, 1 < j \leq \lfloor n/2 \rfloor - \lfloor m/2 \rfloor$ 인 경우(정리 2 증명의 경우 6-2)를 제외한 임의의 정점 $v_{i,j}$ 까지 길이가 $diam(T(m,n)) + 1$ 이하의 서로소인 경로들이 4개 존재함은 정리 2의 증명에서 보였다. 이제 $i = 1, 1 < j \leq \lfloor n/2 \rfloor - \lfloor m/2 \rfloor$ 인 경우를 고려한다. $4 \leq m, n \leq 5$ 일 때, $1 < j \leq \lfloor n/2 \rfloor - \lfloor m/2 \rfloor = 0$ 가 된다. 이 조건을 만족하는 j 가 존재하지 않으므로 따름정

리가 성립한다. $m, n \geq 6$ 인 경우, 다음과 같이 서로소인 4 경로 P_1, P_2, P_3, P_4 를 구한다.

$$P_1 = P[v_{1,1}; 2(j)], P_2 = (v_{1,1}, P[v_{2,1}; 2(j)], v_{1,j}),$$

$$P_3 = (v_{1,1}, v_{1,n}, v_{2,n}, v_{3,n}, P[v_{3,1}; 2(j+1)], v_{2,j+1}, v_{1,j+1}, v_{1,j}),$$

$$P_4 = (v_{1,1}, P[v_{m,1}; 2(j)], v_{1,j}).$$

$j+1 < m$ 이므로, 이들은 u 와 v 사이의 서로소인 경로들이다. $|P_1| = j - 1$ 이고, $|P_2| = |P_4| = j + 1$ 이므로 P_1, P_2, P_4 의 길이는 각각 $diam(T(m,n))$ 이하이다. $m \geq 6$ 이므로, $|P_3| = j + 7 \leq \lfloor n/2 \rfloor - \lfloor m/2 \rfloor + 7 \leq \lfloor n/2 \rfloor + 4 \leq \lfloor n/2 \rfloor + \lfloor m/2 \rfloor + 1$ 이다. 따라서 P_3 의 길이는 $diam(T(m,n)) + 1$ 이다. \square

관찰 1. 2-차원 토러스 $T(3,5)$ 에서 서로 다른 두 정점 $u = v_{1,1}$ 와 $v = v_{i,j}$ ($1 \leq i \leq 2, 1 \leq j \leq 3$) 사이에 다음의 경로들이 존재한다.

(a) $i = 2, j = 2$ 가 아니면, 길이가 $diam(T(3,5)) + 1 (= 4)$ 이하의 서로소인 4 개의 경로가 존재한다.

(b) $i = 2, j = 2$ 이면, 서로소인 4개의 경로들로서 길이가 $diam(T(3,5)) - 1$ 인 경로가 2개, 길이가 $diam(T(3,5))$ 인 경로가 하나, 길이가 $diam(T(3,5)) + 2$ 인 경로가 하나 존재한다.

4. 다차원 토러스의 고장지름

$d(\geq 2)$ -차원 $k_1 \times k_2 \times \cdots \times k_d$ 토러스 $T(k_1, k_2, \dots, k_d)$ 는 연결도가 $2d$ 이다. 이제 d -차원 $k_1 \times k_2 \times \cdots \times k_d$ 토러스 $T(k_1, k_2, \dots, k_d)$ 의 고장지름을 분석한다. 앞서 언급하였듯이 $T(k_1, k_2, \dots, k_d)$ 은 $T(k_1, k_2, \dots, k_{d-1}) \times C_{k_d}$ 과 동형이다.

보조정리 1. $d \geq 3$ 이고 모든 $1 \leq i \leq d$ 에 대하여 $k_i \geq 3$ 이라 하자. $(d-1)$ -차원 $k_1 \times k_2 \times \cdots \times k_{d-1}$ 토러스 $T(k_1, k_2, \dots, k_{d-1})$ 에서 서로 다른 임의의 두 정점 사이에 길이가 $diam(T(k_1, k_2, \dots, k_{d-1})) + 1$ 이하인 서로소인 $2(d-1)$ 개의 경로들이 존재한다고 가정하자. 그러면, d -차원 $k_1 \times k_2 \times \cdots \times k_d$ 토러스 $T(k_1, k_2, \dots, k_d)$ 에서 서로 다른 임의의 두 정점 사이에 길이가 $diam(T(k_1, k_2, \dots, k_d)) + 1$ 이하인 서로소인 $2d$ 개의 경로들이 존재한다.

증명. 각 차원의 크기는 3 이상이므로, $T(k_1, k_2, \dots, k_{d-1})$ 의 지름은 2 이상이다. 따라서 $diam(T(k_1, k_2, \dots, k_d)) = diam(T(k_1, k_2, \dots, k_{d-1})) + \lfloor k_d/2 \rfloor \geq \lfloor k_d/2 \rfloor + 2$ 이다. 앞으로 $T(k_1, k_2, \dots, k_d)$ 의 지름은 $diam(T)$ 로 표기한다. $T(k_1, k_2, \dots, k_d)$ 의 임의의 서로 다른 두 정점을 u, v 라

하자. 토러스 $T(k_1, k_2, \dots, k_d)$ 는 정점 대칭이므로 일반성을 잊지 않고 $u = v_{1,1,\dots,1}$ 이라 가정한다. $v = v_{i_1, i_2, \dots, i_d}$ 라 하자. u 에 대한 v 의 대칭적 성질(성질 1)에 의하여 $i_d \leq \lfloor k_d/2 \rfloor + 1$ 이라 가정한다. u 와 v 사이에 길이가 $diam(T) + 1$ 이하의 서로소인 $2d$ 개의 경로들 P_1, P_2, \dots, P_{2d} 가 존재함을 보인다. $1 \leq j \leq k_d$ 에 대하여, $V_j = \{v_{x_1, x_2, \dots, x_d} \mid x_d = j\}$ 이고, $1 \leq p \leq d-1$ 에 대하여 $1 \leq x_p \leq k_p$ } 라 하고, V_j 에 의하여 유도되는 부그래프를 T_j 라 하자. 그러면 T_j 는 $d-1$ 차원 $k_1 \times k_2 \times \dots \times k_{d-1}$ 토러스와 동형이다. 정점 $v = v_{i_1, i_2, \dots, i_{d-1}, j}$ 를 T_j 에 투사한 정점은 $v = v_{i_1, i_2, \dots, i_{d-1}, j}$ 이 된다. $u = v_{1,1,\dots,1}$ 은 T_1 의 정점이다.

경우 1: $i_d = 1$ (그림 3(a) 참조)

u 와 v 는 T_1 의 정점이다. 가정에 의하여 T_1 에서 u 와 v 사이에 길이가 각각 $diam(T_1) + 1$ 이하의 서로소인 $2(d-1)$ 개의 경로들 $P_1, P_2, \dots, P_{2(d-1)}$ 가 존재한다. 나머지 2 경로는 다음과 같이 구한다:

$P_{2d-1} = (u, P, v)$, 여기서 P 는 T_2 에서 $v_{1,1,\dots,1,2}$ 와 $v_{i_1, i_2, i_3, \dots, i_{d-1}, 2}$ 사이의 최단경로이다.

$P_{2d} = (u, P', v)$, 여기서 P' 는 T_{k_d} 에서 $v_{1,1,\dots,1,k_d}$ 와 $v_{i_1, i_2, i_3, \dots, i_{d-1}, k_d}$ 사이의 최단경로이다.

$|P_{2d-1}|, |P_{2d}| \leq diam(T(k_1, k_2, \dots, k_{d-1})) + 2 \leq diam(T) + 1$ 이다. 이들 $2d$ 개의 경로들은 모두 길이가 $diam(T) + 1$ 이하인 서로 소인 경로들이다.

경우 2: $1 < i_d \leq \lfloor k_d/2 \rfloor + 1$

경우 2.1 $dist(v_{1,1,\dots,1,1}, v_{i_1, i_2, \dots, i_{d-1}, 1}) = 0$
(즉, $i_1 = i_2 = \dots = i_{d-1} = 1$)
 u 와 인접한 T_1 의 정점들의 집합
 $N_1(u) = \{u'_1, u'_2, \dots, u'_{2d-2}\}$ 라 하자.

경우 2.1.1 $1 < i_d \leq \lfloor k_d/2 \rfloor - 2$ (그림 3 (b) 참조)

이 경우에는 $k_d \geq 8$ 이다.

$1 \leq j \leq 2d-3$ 에 대하여, $P_j = (u, P[u'_j; d(i_d)], v)$. 이들 P_j 는 길이가 $i_d + 1$ 로서 $diam(T)$ 이하이다. 나머지 3 경로는 다음과 같이 구한다. u_{2d-2} 의 인접한 T_1 의 정점들로서 $N_1(u) \cup \{u\}$ 에 속하지 않는 두 정점을 x, y 라 하자. T_1 에서 u_{2d-2} 의 분지수가 4이상이므로, 이들 두 정점 x, y 가 존재하는 것은 쉽게 알 수 있다. u, u_{2d-2} 를 토러스 T_{i_d+1} 에 투사한 정점들을 각각 w, z 라 하자.

$$P_{2d-2} = (u, u'_{2d-2}, P[x; d(i_d + 1)], z, w, v),$$

$$P_{2d-1} = P[u; d(i_d)].$$

여기서 경로 $P[x; d(i_d + 1)]$ 의 마지막 정점과 z 는 인접하다. u'_{2d-2} 를 T_{i_d} 에 투사한 정점들을 v' 라 하자. v' 은 T_{i_d} 의 정점으로 v 와 인접하다. u, u'_{2d-2}, y 를 T_{k_d} 에 투사한 정점들을 각각 u'', v'', y'' 이라 하자.

$$P_{2d} = (u, u'', v'', y'', P[y; d(i_d)], v', v).$$

경로 쌍 (P_{2d-2}, P_{2d}) 를 제외한 모든 두 경로가 서로 소임은 명백하다. P_{2d-2} 와 P_{2d} 가 서로 소가 됨을 보이기 위해서는 $i_d + 1 < k_d$ 임을 보이면 된다. $1 < i_d \leq \lfloor k_d/2 \rfloor - 2$ 이고 $k_d \geq 8$ 이므로, $i_d + 1 < k_d$ 이다. 이제 경로들의 길이를 분석한다. $1 \leq i \leq 2d-3$ 에 대하여 $|P_i| = i_d + 1$ 이다. $|P_{2d-2}| = i_d + 5$, $|P_{2d-1}| = i_d - 1$, $|P_{2d}| = i_d + 5$ 이다. $d \geq 3$ 이고, $j(1 \leq j \leq d)$ 에 대하여 $\lfloor k_j/2 \rfloor \geq 1$ 이다. $i_d + 5 \leq \lfloor k_d/2 \rfloor + 3$ 이므로 $P_{2d-2}, P_{2d-1}, P_{2d}$ 의 길이는 모두 $diam(T) + 1$ 이하이다.

경우 2.1.2 $\lfloor k_d/2 \rfloor - 1 \leq i_d \leq \lfloor k_d/2 \rfloor + 1$ (그림 3(c) 참조)

$1 \leq j \leq 2d-2$ 에 대하여, $P_j = (u, P[u'_j; d(i_d)], v)$. 이들 P_j 는 길이가 $i_d + 1$ 으로서 $diam(T)$ 이하이다. 나머지 2 경로는 다음과 같이 구한다.

$$P_{2d-1} = P[u; d(i_d)], P_{2d} = (u, P[v_{1,1,\dots,1,k_d}; d(i_d)]).$$

P_{2d-1} 의 길이는 $i_d - 1$ 이고 P_{2d} 의 길이는 $k_d - i_d + 1 \leq \lfloor k_d/2 \rfloor + 3 \leq diam(T) + 1$ 이다. 이들 경로들이 서로 소임은 명백하다.

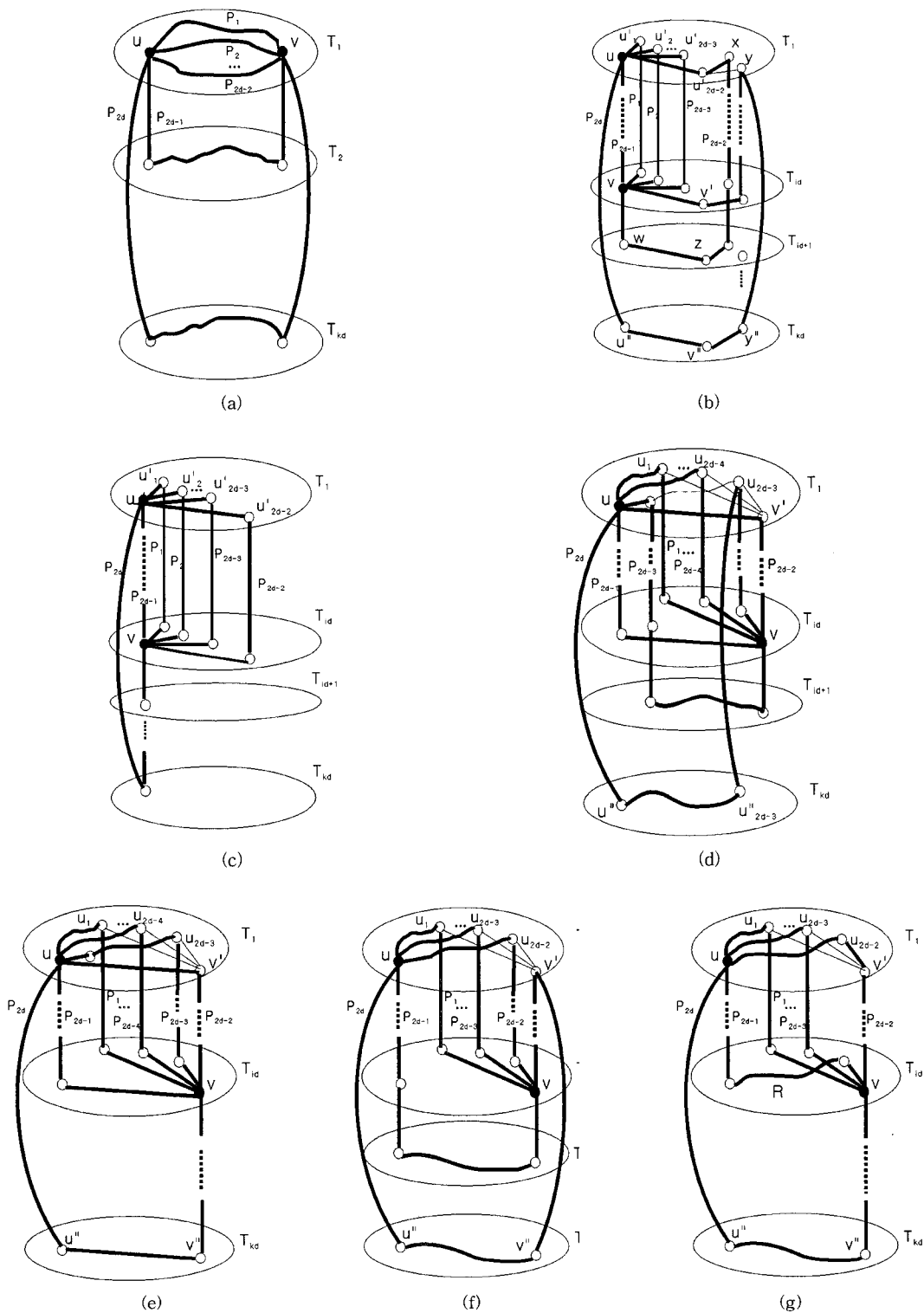
$$\text{경우 2.2 } dist(v_{1,1,\dots,1,1}, v_{i_1, i_2, \dots, i_{d-1}, 1}) = 1$$

v 를 T_1 에 투사한 정점을 v' 이라 하자. T_1 에서 정점 v' 은 u 와 인접하다. 가정에 의하여 T_1 에서 u 와 v' 사이에 길이가 $diam(T_1) + 1$ 이하의 서로소인 경로들이 $2d-2$ 개 존재한다. 이들 경로를 $Q_1, Q_2, \dots, Q_{2d-1}, Q_{2d-2}$ 라 하자. 이 중 하나는 (u, v') 인데, 일반성을 잊지 않고 $Q_{2d-2} = (u, v')$ 라 한다. 또한 이들 $2d-2$ 개의 경로들 중, 길이가 3 이상인 경로가 존재하는데, $|Q_{2d-3}| \geq 3$ 이라 하자. 모든 $1 \leq j \leq 2d-3$ 에 대하여, u 로부터 v' 까지의 경로인 Q_j 에서 마지막 정점인 v' 를 제외한 경로를 Q'_j 라 하고, Q'_j 의 마지막 정점을 u_j 라 하자.

경우 2.2.1 $1 < i_d \leq \lfloor k_d/2 \rfloor - 1$ (그림 3(d) 참조)

이 경우에는 $k_d \geq 6$ 이다. $1 \leq j \leq 2d-4$ 에 대하여, $P_j = (Q'_j, P[u'_j; d(i_d)], v)$. 이제 나머지 4 경로를 구한다. Q_{2d-3} 에서 u 바로 다음의 정점을 u'_{2d-3} 이라 하자. $|Q_{2d-3}| \geq 3$ 이므로, $u_{2d-3} \neq u'_{2d-3}$ 이다.

$P_{2d-3} = (u, P[u'_{2d-3}; d(i_d + 1)], P', v)$, 여기서 P' 는 u'_{2d-3} 과 v 를 T_{i_d+1} 에 투사한 두 정점사이에 T_{i_d+1} 에서

그림 3 d -차원 토러스에서 서로소인 $2d$ 개의 경로들

의 최단경로이다.

$$P_{2d-2} = (u, P[v'; d(i_d)]), \quad P_{2d-1} = (P[u; d(i_d)], v).$$

나머지 하나의 경로는 다음과 같이 구한다. u, u_{2d-3} 를 T_{k_d} 에 투사한 정점을 각각 u'', u''_{2d-3} 이라 하자.

$$P_{2d} = (u, P', P[u_{2d-3}; d(i_d)], v), \quad \text{여기서 } P' \text{는 } T_{k_d} \text{에서 } u'' \text{와 } u''_{2d-3} \text{ 사이의 최단경로이다.}$$

위의 $2d$ 개의 경로들 중, 경로 쌍 (P_{2d-3}, P_{2d}) 를 제외한 모든 두 경로가 서로 소임은 명백하다. $|Q_{2d-3}| \geq 3$ 이므로, $u_{2d-3} \neq u'_{2d-3}$ 이다. 따라서 P_{2d-3} 와 P_{2d} 가 서로 소가 됨을 보이기 위해서는 $i_d + 1 < k_d$ 임을 보이면 된다. $1 < i_d \leq \lfloor k_d/2 \rfloor - 1$ 이고 $k_d \geq 6$ 이므로, $i_d + 1 < k_d$ 이다. 다음에서 경로들의 길이를 분석한다. $P_j (1 \leq j \leq 2d-4)$ 의 길이 $|P_j| \leq \text{diam}(T_1) + i_d \leq \text{diam}(T_1) + \lfloor k_d/2 \rfloor - 1 < \text{diam}(T)$ 이다. $|P_{2d-3}| \leq \text{diam}(T_{i_d+1}) + i_d + 2 \leq \text{diam}(T_{i_d+1}) + \lfloor k_d/2 \rfloor + 1 \leq \text{diam}(T) + 1$ 이다. P_{2d-2}, P_{2d-1} 의 길이는 각각 i_d 로서 $\text{diam}(T)$ 이하이다. $|P_{2d}| = \text{diam}(T_{k_d}) + i_d + 2 \leq \text{diam}(T_{k_d}) + \lfloor k_d/2 \rfloor + 1 \leq \text{diam}(T) + 1$ 이다.

경우 2.2.2 $\lfloor k_d/2 \rfloor \leq i_d \leq \lfloor k_d/2 \rfloor + 1$ (그림 3(e) 참조)

$1 \leq j \leq 2d-3$ 에 대하여, $P_j = (Q_j, P[u_j; d(i_d)], v)$. 이 때, P_j 의 길이 $|P_j| = \text{diam}(T_1) + i_d \leq \text{diam}(T_1) + \lfloor k_d/2 \rfloor + 1 \leq \text{diam}(T) + 1$ 이다. $P_{2d-2} = (u, P[v'; d(i_d)]), \quad P_{2d-1} = (P[u; d(i_d)], v)$. P_{2d-2}, P_{2d-1} 의 길이는 i_d 로 $\text{diam}(T)$ 이하이다. 나머지 하나의 경로는 다음과 같이 구한다. u, v 를 T_{k_d} 에 투사한 정점을 각각 u'', v'' 라 하자. $\text{dist}(v_{1,1,\dots,1,1}, v_{i_1, i_2, \dots, i_{d-1}, 1}) = 1$ 이므로, T_{k_d} 에서 u'' 와 v'' 은 인접하다. $P_{2d} = (u, u'', v'', P[v''; d(i_d)])$. 경로 P_{2d} 의 길이 $|P_{2d}| = k_d - i_d + 2 \leq \lfloor k_d/2 \rfloor + 3 \leq \text{diam}(T) + 1$ 이다. 이들 $2d$ 개의 경로들이 서로 소임은 명백하다.

경우 2.3 $\text{dist}(v_{1,1,\dots,1,1}, v_{i_1, i_2, \dots, i_{d-1}, 1}) \geq 2$

v 를 T_1 에 투사한 정점을 v' 라 하자. 가정에 의하여 T_1 에서 u 와 v' 사이에 길이가 $\text{diam}(T_1) + 1$ 이하의 서로 소인 경로들이 $2d-2$ 개 존재한다. 이를 경로를 $Q_1, Q_2, \dots, Q_{2d-1}, Q_{2d-2}$ 라 하자. 모든 $1 \leq j \leq 2d-2$ 에 대하여, u 로부터 v' 까지의 경로인 Q_j 에서 마지막 정점인 v' 를 제외한 경로를 Q'_j 라 하고, Q'_j 의 마지막 정점을 u_j 라 하자.

경우 2.3.1 $1 < i_d \leq \lfloor k_d/2 \rfloor$ (그림 3(f) 참조)

이 경우에는 $k_d \geq 4$ 이다.

$1 \leq j \leq 2d-2$ 에 대하여, $P_j = (Q'_j, P[u_j; d(i_d)], v)$.

$P_{2d-1} = (P[u; d(i_d)+1], P, v)$, 여기서 P 는 u 와 v 를 T_{i_d+1} 에 투사한 두 정점 사이에 T_{i_d+1} 에서의 최단경로이다.

나머지 하나의 경로는 다음과 같이 구한다. u, v 를 T_{k_d} 에 투사한 정점을 각각 u'', v'' 라 하자.

$P_{2d} = (u, P', P[v'; d(i_d)])$, 여기서 P' 는 T_{k_d} 에서 u'' 와 v'' 사이의 최단경로이다.

v' 은 T_1 의 정점이고, v' 과 v'' 은 인접하며, $P[v'; d(i_d)]$ 의 마지막 정점이 v 임에 유의하라.

경로 쌍 (P_{2d-1}, P_{2d}) 를 제외한 모든 두 경로가 서로 소임은 명백하다. P_{2d-1} 과 P_{2d} 가 서로 소가 됨을 보이기 위해서는 $i_d + 1 < k_d$ 임을 보이면 된다. $1 < i_d \leq \lfloor k_d/2 \rfloor$ 이고 $k_d \geq 4$ 이므로, $i_d + 1 < k_d$ 이다. 이제 경로들의 길이를 분석한다. $1 \leq j \leq 2d-2$ 에 대하여, $|P_j| \leq \text{diam}(T_1) + i_d \leq \text{diam}(T_1) + \lfloor k_d/2 \rfloor = \text{diam}(T)$ 이다.

$$|P_{2d-1}| \leq \text{diam}(T_{i_d+1}) + i_d + 1 \leq$$

$$\text{diam}(T_{i_d+1}) + \lfloor k_d/2 \rfloor + 1 = \text{diam}(T) + 1$$
 이다.

$$|P_{2d}| \leq \text{diam}(T_{k_d}) + i_d + 1 \leq$$

$$\text{diam}(T_{k_d}) + \lfloor k_d/2 \rfloor + 1 = \text{diam}(T) + 1$$
 이다.

경우 2.3.2 $i_d = \lfloor k_d/2 \rfloor + 1$ (그림 3(g) 참조)

$1 \leq j \leq 2d-3$ 에 대하여, $P_j = (Q'_j, P[u_j; d(i_d)], v)$.

$P_{2d-2} = (Q_{2d-2}, P[v'; d(i_d)])$.

Q_{2d-2} 의 정점들을 T_{i_d} 에 투사한 정점들에 의한 경로를 R 이라 하자.

$P_{2d-1} = (P[u; d(i_d)], R)$.

나머지 하나의 경로는 다음과 같이 구한다. u, v 를 T_{k_d} 에 투사한 정점을 각각 u'', v'' 라 하자.

$P_{2d} = (u, P', P[v''; d(i_d)])$, 여기서 P' 는 T_{k_d} 에서 u'' 와 v'' 사이의 최단경로이다.

각 경로의 길이를 분석한다. $1 \leq j \leq 2d-1$ 에 대하여, $|P_j| \leq \text{diam}(T_1) + i_d = \text{diam}(T_1) + \lfloor k_d/2 \rfloor + 1 = \text{diam}(T) + 1$ 이다. $|P_{2d}| \leq \text{diam}(T_{k_d}) + k_d - i_d + 1 \leq \text{diam}(T_{k_d}) + \lfloor k_d/2 \rfloor + 1 = \text{diam}(T) + 1$ 이다. \square

이제 $d \geq 3$ 인 d -차원 토러스 $T(k_1, k_2, \dots, k_d)$ 에서 두 정점 사이의 서로소인 $2d$ 개의 경로들을 분석한다. 먼저 $n \geq 6$ 인 3-차원 토러스 $T(3, 5, n)$ 에 대하여 분석한다.

보조정리 2. $n \geq 6$ 인 3-차원 토러스 $T(3, 5, n)$ 에서 서로 다른 모든 두 정점 사이에 길이가 $\text{diam}(T(3, 5, n)) + 1$ 이하인 서로소인 6 개의 경로들이 존재한다.

증명. 보조정리 1의 증명과정의 각 경우에 기술한 것

과 같은 방법으로 $u = v_{1,1,1}$ 와 $v = v_{p,q,r}$ 사이에 길이가 $diam(T(3,5,n)) + 1$ 이하의 서로소인 6 개의 경로들 $P_1, P_2, P_3, P_4, P_5, P_6$ 을 구성한다. (보조정리 1의 증명과 정을 이용함에 있어서, $d=3, k_1=3, k_2=5, k_3=n, i_d=r$ 이다.) $1 \leq j \leq n$ 에 대하여, $V_j = \{v_{p,q,j} \mid 1 \leq p \leq 3, 1 \leq q \leq 5\}$ 에 의하여 유도되는 부 그래프를 T_j 라 하자. 각 T_j 는 2-차원 토러스 $T(3,5)$ 와 동형이다. 다음에서 v 를 T_1 에 투사한 정점인 $v_{p,q,1}$ 을 이용하여 증명한다.

경우 1: $r=1$

v 는 T_1 의 정점이다. 관찰 1에 의하여 T_1 에서 $u = v_{1,1,1}$ 와 $v = v_{p,q,1}$ 사이에 길이가 $diam(T_1) + 2 = 5$ 이하의 서로소인 4개의 경로들이 존재한다. 이들을 P_1, P_2, P_3, P_4 라 하자. $P_5 = (v_{1,1,1}, P, v_{p,q,1})$, 여기서 P 는 T_2 에서 $v_{1,1,2}$ 과 $v_{p,q,2}$ 사이의 최단경로이다. $P_6 = (v_{1,1,1}, P', v_{p,q,1})$, P' 는 T_n 에서 $v_{1,1,n}$ 과 $v_{p,q,n}$ 사이의 최단경로이다. 이들 경로의 길이를 분석한다. $|P_5|, |P_6| \leq diam(T(3,5)) + 2 = 3 + 2 = 5$ 이다.

$$\begin{aligned} diam(T(3,5,n)) &= \lfloor 3/2 \rfloor + \lfloor 5/2 \rfloor + \lfloor n/2 \rfloor \\ &= 3 + \lfloor n/2 \rfloor \geq 6 \text{이므로, 이들 6 개 경로들의 길이는 } diam(T(3,5,n)) \text{이하이다.} \end{aligned}$$

경우 2: $1 < r \leq \lfloor n/2 \rfloor + 1$

경우 2.1 $dist(v_{1,1,1}, v_{p,q,1}) = 0$ (즉, $p=q=1$)

이 경우에는 보조정리 1 증명의 경우 2.1에서 기술된 방법으로 6개의 경로들 $P_1, P_2, P_3, P_4, P_5, P_6$ 을 구할 수 있다.

경우 2.2 $dist(v_{1,1,1}, v_{p,q,1}) \geq 1$

$p=q=2$ 가 아닌 경우는, T_1 에서 u 와 $v_{p,q,1}$ ($=v$ 를 T_1 에 투사한 정점)사이에 $diam(T_1) + 1$ 이하인 4 개의 서로소인 경로들이 존재하므로 보조정리 1의 증명(경우 2.2와 경우 2.3)에서와 같이 성립한다. 이제 $p=q=2$ 인 경우($dist(v_{1,1,1}, v_{p,q,1}) = 2$)를 고려한다. 관찰 1에 의하여, T_1 에서 u 와 $v_{p,q,1}$ 사이에 서로소인 4 개의 경로들로서 길이가 $diam(T(3,5)) + 1$ 이하인 것이 3개, $diam(T(3,5)) + 2$ 인 것이 하나 존재한다. 이들 경로를 Q_1, Q_2, Q_3, Q_4 라 하고 Q_i 의 길이가 가장 길다고 하자. 즉, $|Q_1| = diam(T(3,5)) + 2$ 이고 $|Q_2|, |Q_3|, |Q_4| \leq diam(T(3,5)) + 1$ 이다. 모든 $1 \leq j \leq 4$ 에 대하여 경로 Q_j 에서 마지막 정점을 $v_{p,q,1}$ 을 제외한 경로를 Q'_j 라 하고, Q'_j 의 마지막 정점을 u_j 라 하자.

경우 2.2.1 $1 < r \leq \lfloor n/2 \rfloor$

보조정리 1. 증명의 경우 2.3.1에 있는 방법으로 6개

의 경로들 $P_1, P_2, P_3, P_4, P_5, P_6$ 을 구한다. 그러면 $|P_1| \leq diam(T(3,5,n)) + 1$ 이고, $|P_2|, |P_3|, |P_4| \leq diam(T(3,5,n))$ 이다. $|P_5|, |P_6| \leq diam(T(3,5,n)) + 1$ 이다.

경우 2.2.2 $r = \lfloor n/2 \rfloor + 1$

$$\begin{aligned} P_1 &= (v_{1,1,1}, v_{2,1,1}, P[v_{2,2,1}; 3(r)]), \\ P_2 &= (v_{1,1,1}, v_{3,1,1}, P[v_{3,2,1}; 3(r)], v_{2,2,r}), \\ P_3 &= (v_{1,1,1}, v_{1,2,1}, P[v_{1,3,1}; 3(r)], v_{2,3,r}, v_{2,2,r}), \\ P_4 &= (v_{1,1,1}, P[v_{1,5,1}; 3(r)], v_{2,5,r}, v_{2,1,r}, v_{2,2,r}), \\ P_5 &= (P[v_{1,1,1}; 3(r)], v_{1,2,r}, v_{2,2,r}), \\ P_6 &= (v_{1,1,1}, v_{1,1,n}, P[v_{2,2,n}; 3(r)]). \end{aligned}$$

$$|P_1| = r+1 = \lfloor n/2 \rfloor + 2, |P_2| = r+2 = \lfloor n/2 \rfloor + 3,$$

$$|P_3|, |P_4| = r+3 = \lfloor n/2 \rfloor + 4, |P_5| = r+1 = \lfloor n/2 \rfloor + 2,$$

$$|P_6| = n-r+3 = n - \lfloor n/2 \rfloor + 2 \leq \lfloor n/2 \rfloor + 3 \text{이다.}$$

$\lfloor n/2 \rfloor + 4 \leq diam(T(3,5)) + \lfloor n/2 \rfloor + 1$ 이므로, 이들 경로들은 모두 $diam(T(3,5,n)) + 1$ 이하이다. \square

정리 3. 보조정리 1과 보조정리 2를 이용하여, 다음 정리에서 일반적인 토러스 $T(k_1, k_2, \dots, k_d)$ 의 고장지름이 $diam(T(k_1, k_2, \dots, k_d)) + 1$ 임을 보인다.

정리 4. $d \geq 3$ 이고 $k_i \geq 3 (1 \leq i \leq d)$ 인 d -차원 $k_1 \times k_2 \times \dots \times k_d$ 토러스 $T(k_1, k_2, \dots, k_d)$ 에서 서로 다른 모든 두 정점 사이에 길이가 $diam(T(k_1, k_2, \dots, k_d)) + 1$ 이하인 서로소인 $2d$ 개의 경로들이 존재한다.

증명. d 에 관한 수학적 귀납법으로 증명한다. 먼저 기본적 경우로서, $d=3$ 인 경우를 증명한다. 일반성을 잃지 않고 $k_1 \leq k_2 \leq k_3$ 라 가정한다. k_1, k_2, k_3 중 (i) $k_i, k_j \leq 5$ 이면서 $\{k_i, k_j\} \neq \{3, 5\}$ 이든지 혹은 (ii) $k_i, k_j \geq 6$ 인 $k_i, k_j (1 \leq i \neq j \leq 3)$ 가 존재하면, 정리 3에 의하여 2-차원 토러스 $T(k_i, k_j)$ 에서 임의의 두 정점사이에 길이가 $diam(T(k_i, k_j)) + 1$ 이하의 서로소인 경로들이 4개 존재한다. 이러한 사실과 보조정리 1로부터 $T(k_1, k_2, k_3)$ 에서 서로 다른 임의의 두 정점 사이에 길이가 $diam(T(k_1, k_2, k_3)) + 1$ 이하인 서로소인 6 개의 경로들이 존재한다. 위의 (i)과 (ii)가 아닌 경우는 $k_1=3, k_2=5, k_3 \geq 6$ 이다. 이때에는 보조정리 2로부터 서로 다른 임의의 두 정점 사이에 길이가 $diam(T(k_1, k_2, k_3)) + 1$ 이하인 서로소인 6 개의 경로들이 존재한다. $d \geq 4$ 인 경우는 귀납법 가정과 보조정리 1에 의하여 성립한다. \square

따름정리 3. $d \geq 3$ 인 d -차원 $k_1 \times k_2 \times \dots \times k_d$ 토러스 $T(k_1, k_2, \dots, k_d)$ 의 고장지름은 $diam(T(k_1, k_2, \dots, k_d)) + 1$ 이다.

5. 결 론

이 논문에서는 토러스의 고장지름을 규명하였다.

$m, n \geq 3$ 인 2-차원 $m \times n$ 토러스에서 $m=3$ 혹은 $n=3$ 일 때 고장지름이 $\max(m,n)$ 임을 보였다. 그리고 $m, n > 3$ 인 경우 $T(m,n)$ 의 고장지름이 $\text{diam}(T(m,n)) + 1$ 임을 보였다. 또한 $k_i \geq 3$ ($1 \leq i \leq d$)이고 $d \geq 3$ 인 d -차원 $k_1 \times k_2 \times \dots \times k_d$ 토러스에서 서로 다른 임의의 두 정점 사이에 길이가 지름+1 이하인 2d 개의 서로소인 경로들을 설계함으로서 고장지름이 지름+1임을 보였다.

참 고 문 헌

- [1] K. Day and A. E. Al-Ayyoub, "Fault diameter of k-ary n-cube networks," *IEEE Trans. Parallel and Distributed Systems*, 8(9), pp. 903-907, 1997.
- [2] M. S. Krishnamoorthy and B. Krishnamurthy, "Fault diameter of interconnection networks," *Computing Mathematical Applications*, 13, pp. 577-582, 1987.
- [3] S. Latifi, "Combinatorial analysis of the fault-diameter of the n-cube," *IEEE Trans. Computers*, 42(1), pp. 27-33, 1993.
- [4] Y. Rouskov and P. K. Srimani, "Fault diameter of star graphs," *Information Processing Letters*, 48(5), pp. 243-251, 1993.
- [5] J.-J. Sheu and L.-H Hsu, "Fault diameter for subcubes," *Parallel Processing Letters*, 9(1), pp. 21-30, 1999.
- [6] C.-P. Chang, J.-N. Wang, L.-H. Hsu, "Topological properties of twisted cube," *Information Sciences*, 113, pp. 147-167, 1999.
- [7] 김희철, 김상범, 좌경룡, "G($2^m, 4$)의 고장지름", 한국 정보과학회 가을 학술발표회, 21(2), pp. 663-666, 1994.
- [8] H.-C. Hsu, T.-K. Li, J.J.M. Tan, and L.-H. Hsu, "Fault hamiltonicity and fault hamiltonian connectivity of the arrangement graphs," *IEEE Trans. Computers*, 53(1), pp. 39-53, 2004.
- [9] J.-H. Park and H.-C. Kim, "Longest paths and cycles in faulty star graphs," *J. Parallel and Distrib. Comput.*, 64, pp. 1286-1296, 2004.
- [10] C.-H. Tsai, "Linear array and ring embedding in conditional faulty hypercubes," *Theoretical Computer Science*, 314, pp. 431-443, 2004.
- [11] J.-H. Park, H.-C. Kim, and H.-S. Lim, "Many-to-many disjoint path covers in hypercube-like interconnection networks with faulty elements," *IEEE Trans. Parallel and Distributed Systems*, 17(3), pp. 227-240, 2006.
- [12] C.-H. Chang, C.-K. Lin, H.-M. Huang, and L.-H. Hsu, "The super laceability of the hypercubes," *Information Processing Letters*, 92, pp. 15-21, 2004.
- [13] P. Fragopoulou and S. G. Akl, "Spanning subgraphs with applications to communication on the multidimensional torus networks," *Parallel Com-* putting, 22, pp. 991-1015, 1996.
- [14] S. Latifi and S. Q. Zheng, "On link-disjoint hamiltonian cycles of torus networks," *International Journal of Computers & Electrical Engineering*, 23(1), pp. 25-32, 1997.
- [15] H. Tamaki, "Construction of the meshes and torus tolerating a large number of faults," *Journal of Computer and System Sciences*, 53, pp. 371-379, 1996.
- [16] J. A. Bondy and U. S. R. Murty, *Graph Theory with Applications*, American Elsevier Publishing Co. Inc., 1976.



김희철

1980년 서울대학교 계산통계학과 학사
1982년 한국과학기술원 전산학과 석사
1987년 한국과학기술원 전산학과 박사
1987년~현재 한국외국어대학교 컴퓨터 및 정보통신공학부 교수. 1997년 8월~1998년 8월 미국 Michigan State University 방문교수. 관심분야는 알고리즘, 그래프이론, 생물정보학



임도빈

1983년 한양대학교 영어영문학과(학사)
1987년 한국외국어대학교 경영정보대학원(석사). 1988년 5월~1991년 12월 (주)한국경제신문사 전산실. 1992년 1월~1997년 3월 (주)한국PC통신 전산운영팀장. 2000년 5월~2005년 6월 (주)씨네티아 수석연구원. 2001년 한국외국어대학교 컴퓨터및정보통신공학과 박사수료. 관심분야는 알고리즘, 상호연결망



박정홍

1981년 3월~1985년 2월 서울대학교 계산통계학과(학사). 1985년 3월~1987년 2월 한국과학기술원 전산학과(석사). 1987년 3월~1992년 2월 한국과학기술원 전산학과(박사). 1992년 3월~1993년 9월 한국과학기술원 정보전자연구소 연수연구원. 1993년 10월~1996년 8월 한국전자통신연구소 부호기술연구부 선임연구원. 1996년 9월~현재 가톨릭대학교 컴퓨터정보공학부 교수. 관심분야는 알고리즘, 설계, 그래프 이론